



**МІНІСТЕРСТВО ОСВІТИ І НАУКИ УКРАЇНИ
ОДЕСЬКА НАЦІОНАЛЬНА АКАДЕМІЯ ХАРЧОВИХ ТЕХНОЛОГІЙ
НАВЧАЛЬНО-НАУКОВИЙ ІНСТИТУТ ХОЛОДУ, КРІОТЕХНОЛОГІЙ
ТА ЕКОЕНЕРГЕТИКИ ІМ. В.С. МАРТИНОВСЬКОГО**

ХІІ ВСЕУКРАЇНСЬКА НАУКОВО-ТЕХНІЧНА КОНФЕРЕНЦІЯ

**СУЧАСНІ ПРОБЛЕМИ ХОЛОДИЛЬНОЇ ТЕХНІКИ ТА ТЕХНОЛОГІЇ
СОВРЕМЕННЫЕ ПРОБЛЕМЫ ХОЛОДИЛЬНОЙ ТЕХНИКИ И ТЕХНОЛОГИИ
MODERN PROBLEMS OF REFRIGERATION EQUIPMENT AND TECHNOLOGY**

27-28 вересня 2019 року

ЗБІРНИК ТЕЗ ДОПОВІДЕЙ КОНФЕРЕНЦІЇ



ОДЕСА 2019

УДК 621.565 (075.6)

Сучасні проблеми холодильної техніки та технології / Збірник тез доповідей XII Всеукраїнської науково-технічної конференції. – Одеса: ОНАХТ, 2019. – 229 с.

У збірнику наведені матеріали XII Всеукраїнської науково-технічної конференції «Сучасні проблеми холодильної техніки та технології» та розглянуто різні аспекти науково-технічних питань, пов'язаних з проектуванням, виготовленням та експлуатацією холодильного обладнання різного призначення, дослідженням робочих тіл та процесів в елементах холодильних та криогенних систем, застосуванням нано та когенераційних технологій, використанням холоду в харчових технологіях, застосуванням і впровадженням нетрадиційних джерел енергії.

В сборнике представлены материалы XII Всеукраинской научно-технической конференции «Современные проблемы холодильной техники и технологии» и рассмотрены различные аспекты научно-технических вопросов, связанных с проектированием, изготовлением и эксплуатацией холодильного оборудования различного назначения, исследованием рабочих тел и процессов в элементах холодильных и криогенных систем, применением нано и когенерационных технологий, использованием холода в пищевых технологиях, применением и внедрением нетрадиционных источников энергии.

Відповідальність за достовірність інформації несе автор публікації.
Матеріали публікуються мовою оригінала, наданого автором.

Голова наукового комітету – Єгоров Богдан Вікторович – ректор Одеської національної академії харчових технологій, член-кореспондент НААН України, Заслужений діяч науки і техніки, д-р техн. наук, професор.

Заступник голови – Косой Борис Володимирович – директор Інституту холоду, кріотехнологій та екоенергетики ім. В.С. Мартиновського, д-р техн. наук, професор.

Члени наукового комітету:

Ванєєв Сергій Михайлович - Сумський державний університет, к.т.н., доцент;

Василенко Сергій Михайлович - Національний університет харчових технологій, д.т.н., професор;

Железний В.П. - зав. кафедрою теплофізики та прикладної екології ОНАХТ, д-р техн. наук, професор;

Лабай Володимир Йосипович - Національний університет «Львівська політехніка», д.т.н., професор;

Лавренченко Г.К. - д-р техн. наук, професор;

Мілованов В.І. - зав. кафедрою компресорів та пневмоагрегатів ОНАХТ, заслужений діяч науки і техніки України, д-р техн. наук, професор;

Морозюк Л.І. - д-р техн. наук, професор;

Потапов Володимир Олексійович - Харківський державний університет харчування і торгівлі, д.т.н., професор;

Радченко М.І. - зав. кафедрою кондиціонування і рефрижерації НУК, академік Міжнародної академії холоду, д-р техн. наук, професор;

Семенюк В.А. - к.т.н., директор НПФ «Терміон»;

Симоненко Ю.М. - зав. кафедрою кріогенної техніки ОНАХТ, д-р техн. наук, професор;

Снежкін Юрій Федорович - директор Інституту технічної теплофізики, д.т.н., академік НАНУ

Ткаченко Станіслав Йосипович - д.т.н., професор Вінницького національного технічного університету;

Хмельнюк М.Г. - зав. кафедрою холодильних установок і кондиціонування повітря ОНАХТ, академік Міжнародної академії холоду, д-р техн. наук, професор;

Щит Михайло Львович - к.т.н., пров. наук. спів. Інституту енергетики Академії Наук Молдови.

ОРГАНІЗАЦІЙНИЙ КОМІТЕТ

Голова – проф. Хмельнюк М.Г.

Науковий секретар – к.т.н. Зімін О.В.

Члени – к.т.н. Жихарєва Н.В., к.т.н. Когут В.Є., к.т.н. Яковлева О.Ю., к.т.н. Желіба Ю.О., к.т.н. Остапенко О.В., к.т.н. Подмазко О.С.

ТЕМИ ДОКЛАДОВ ПЛЕНАРНОГО ЗАСІДАННЯ

110 РОКІВ ПРОФЕСОРУ ЧУКЛІНУ СЕРГІЮ ГРИГОРОВИЧУ (1909-1974)

ИННОВАЦИОННЫЕ ПОДХОДЫ, МЕТОДЫ РАЦИОНАЛЬНОГО ПРОЕКТИРОВАНИЯ И ПРИНЦИПЫ ФУНКЦИОНИРОВАНИЯ СИСТЕМ КОНДИЦИОНИРОВАНИЯ КОМФОРТНОГО И ЭНЕРГЕТИЧЕСКОГО НАЗНАЧЕНИЯ

Н.И. Радченко, д.т.н., проф., Е.И. Трушляков, к.т.н., проф., А.Н. Радченко, к.т.н., доц.,
Національний університет кораблебудування ім. адм. Макарова, Україна

АЗОТНЫЕ ГАЗИФИКАЦИОННЫЕ УСТАНОВКИ ВЫСОКОГО ДАВЛЕНИЯ

Кириченко И.В., технический директор ПКФ «Криопром» ООО, г. Одесса;
Леонтьев А.А., главный конструктор ПКФ «Криопром» ООО, г. Одесса.
e - mail: info@krioprom.com.ua

ПІДВИЩЕННЯ ЕНЕРГОЕФЕКТИВНОСТІ БАГАТОЗОНАЛЬНИХ СИСТЕМ КОМФОРТНОГО І ТЕХНОЛОГІЧНОГО КОНДИЦІОНУВАННЯ ПОВІТРЯ

Жихарева Н.В., к.т.н., доц., Одеська національна академія харчових технологій

СЕКЦІЯ № 2. ХОЛОДИЛЬНІ ТА КРІОГЕННІ МАШИНИ. ТЕПЛОВІ НАСОСИ		стр.
9.	THERMODYNAMIC ANALYSIS OF PERIODIC OPERATION AMMONIA-WATER ABSORPTION REFRIGERATION UNITS IN ATMOSPHERIC WATER GENERATION SYSTEMS	155
10.	DEVELOPMENT OF DOMESTIC ABSORPTION REFRIGERATOR FOR OPERATION IN A WIDE RANGE OF EXTERNAL AIR TEMPERATURES	158
11.	MODELING OF THERMAL MODES OF THE REFLUX CONDENSER OF THE ABSORPTION REFRIGERATION UNIT	161
12.	РАЗРАБОТКА АВТОНОМНЫХ СИСТЕМ ОХЛАЖДЕНИЯ С ИСПОЛЬЗОВАНИЕМ ВОЗОБНОВЛЯЕМЫХ ТЕПЛОВОЙ ЭНЕРГИИ	164
13.	RESEARCH OF ELEMENTS OF TECHNOLOGY FOR REMOVAL OF NATURAL PESTICIDES FROM PLANT RAW MATERIALS	167
14.	ПЕРСПЕКТИВНА СХЕМА ЗРІДЖУВАЧА ВОДНЮ МАЛОЇ ПРОДУКТИВНОСТІ ТА ЇЇ РОЗРАХУНОК	169
15.	ВИКОРИСТАННЯ ВІДКРИТОГО ЦИКЛУ СТРІЛІНГА В АВТОМОБІЛІ, ЩО ПРАЦЮЄ НА РІДКОМУ АЗОТІ	172
СЕКЦІЯ № 3. КОМПРЕСОРИ ТА ПНЕВМОАГРЕГАТИ РОБОЧІ РЕЧОВИНИ		стр.
1.	ККД СТРУМИННО-РЕАКТИВНОЇ ТУРБИНИ З УРАХУВАННЯМ СТЕПЕНІ НЕРОЗРАХУНКОВОСТІ ТЯГОВОГО СОПЛА	175
2.	МОДЕЛИРОВАНИЕ РАБОЧЕГО ПРОЦЕССА В ТРЁХСТУПЕНЧАТОЙ СЕКЦИИ ЦЕНТРОБЕЖНОГО КОМПРЕССОРА ВЫСОКОГО ДАВЛЕНИЯ ДЛЯ САЙКЛИНГ-ПРОЦЕССА	177
3.	ПОРІВНЯЛЬНИЙ АНАЛІЗ ТЕЧІЇ В ЩІЛИНАХ ТА ОТВОРАХ ЕКВІВАЛЕНТНОЮ ПЛОЩЕЮ ПРОХІДНОГО ПЕРЕРІЗУ	179
4.	РОБОТА МАЛОГО ХОЛОДИЛЬНОГО КОМПРЕСОРА НА ХОЛОДОАГЕНТІ З ДОМІШКАМИ НАНОЧАСТОК	180
5.	ОЦЕНКА ПЕРСПЕКТИВ ПРЕДВАРИТЕЛЬНОГО ОХЛАЖДЕНИЯ ПРИРОДНОГО ГАЗА НА МАГИСТРАЛЬНЫХ ТРУБОПРОВОДАХ ПЕРЕД СЖАТИЕМ ЗА СЧЕТ УТИЛИЗАЦИИ БРОСОВОГО ТЕПЛА ГАЗОТУРБИННЫХ УСТАНОВОК	182
6.	РОЗРАХУНОК ХАРАКТЕРИСТИК ГЕРМЕТИЧНОГО КОМПРЕСОРНОГО АГРЕГАТУ В ПУСКОВИХ РЕЖИМАХ	185
7.	ВПРОВАДЖЕННЯ ІЗОБУТАНУ В ЯКОСТІ ХОЛОДОАГЕНТА В МАЛІ ХОЛОДИЛЬНІ МАШИНИ	188
8.	ПІДВИЩЕННЯ ЕФЕКТИВНОСТІ ТУРБОКОМПРЕСОРІВ ДВС В УМОВАХ ЕКСПЛУАТАЦІЇ	191
9.	МОДЕРНІЗАЦІЯ ГАЗОТРАНСПОРТНОЇ СИСТЕМИ УКРАЇНИ	193
10.	АНАЛІЗ МЕТОДІВ ПІДВИЩЕННЯ ЕФЕКТИВНОСТІ РОБОТИ ПОРШНЕВОГО ВУГЛЕКИСЛОТНОГО КОМПРЕСОРА	195
11.	ДОСЛІДЖЕННЯ ЕФЕКТИВНОСТІ РОБОТИ БЕЗШАТУННОГО ПОРШНЕВОГО КОМПРЕСОРА НА АЛЬТЕРНАТИВНИХ ЕКОЛОГІЧНО БЕЗПЕЧНИХ ХОЛОДОАГЕНТАХ	197
12.	ПРОФІЛЮВАННЯ ПРОТОЧНОЇ ЧАСТИНИ СОПЛА АКТИВНОГО ПОТОКУ РІДИННО-ПАРОВОГО ЕЖЕКТОРА	199
13.	АНАЛІЗ ХОЛОДИЛЬНИХ ЦИКЛІВ З РТО ПРОМІЖНОГО ТИСКУ	200

THERMODYNAMIC ANALYSIS OF PERIODIC OPERATION AMMONIA-WATER ABSORPTION REFRIGERATION UNITS IN ATMOSPHERIC WATER GENERATION SYSTEMS

Ozolin N.E., Kravchenko V.V.

Odessa National Academy of Food Technologies, Dvoryanskaya 1/3, Odessa, 65089, Ukraine
Fax: + 38(048)725-32-84, e-mail: nikita_ozolin@mail.ru

It is a common knowledge that one of the most valuable resources in the future of our planet is going to be fresh water, and the demand for water resources is already one of the main factors in global logistics of contemporary world, and this trend will only grow in the foreseeable future. One of the developments in water production technology is mechanical air dehumidification — condensation of water vapor on the surfaces with a temperature below the dew point. In this case, there are great prospects for the methods associated with the work of independent generators of cold — chillers that are guaranteed to provide the temperature below the dew point temperature. A necessary condition for operation of compression refrigeration machine is the availability of electrical energy. At the same time, the majority of countries facing water scarcity are limited in energy resources, too. Often the readily available source of energy in there is the sun. [Alekseyev V.V., Chekarev K.V. 1996.]

In this regard there have been developed original schemes of absorption water-ammonia refrigeration units of periodic operation (AWRU PO) based on solar collectors, which differ with autonomy and independence from the sources of electrical energy, and unlike heat-analogues (steam jet and lithium-bromide absorption) can be operated with air cooling of their heat-dissipating elements. [Pearlstein B.H. 2008.]

A scheme of flows in AWRU PO during different phases of its work is shown in Figure 1. In the initial time, when AWRU PO zones are at the same temperatures equaling ambient temperature, the composition of the working fluid (WAS) is the same in both zones. In the charging period, the heat flux Q_h arrives to the AWRU PO generator (left part in Fig.1.a) at the temperature t_h . The absorber-evaporator (right part in Fig.1.a) is at ambient air temperature (t_w) and removes the absorption heat Q_a .

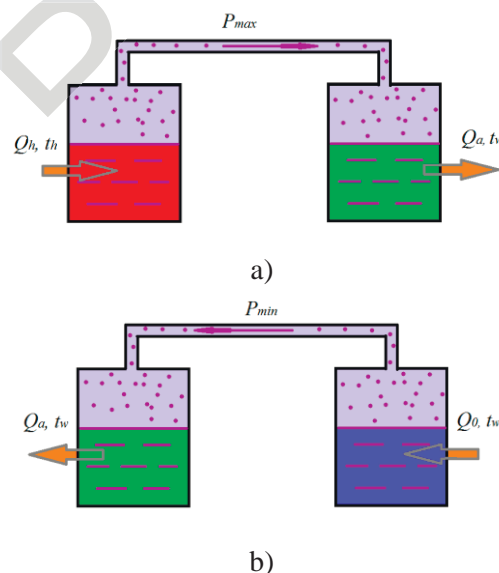


Figure 1. The diagram of the heat and mass flows inside the operating AWRU PO
a) — operation during the charging phase; b) — operation during the cooling phase

During the charging period (Figure 1.a), there occurs the movement of mostly lower boiling component (ammonia) from the generator-absorber (G-A) into the absorber-evaporator zone (A-E). Herewith a temperature in G-A is increased from ambient temperature toward the temperature of the heating medium (

t_h), the rate of change is slightly influenced by the initial composition of WAS. At the end of the evaporation process, the temperature in the G-A is at its maximum, the pressure in the system is also at maximum, and the temperature in A-E can be assumed constant and equal to t_w . At the same time, the maximum proportion of ammonia in the WAS is in the A-E, and the minimum — in the G-A.

In the cooling phase (Figure 1.b), the heat flow from the heat source is blocked, and the outside air is supplied to the outer surface of the G-A, leading to its cooling to ambient environment temperatures. Due to the equilibrium shift in the WAS, when the temperature in the G-A is lowered, the system moves into a state of reduced pressures. In the internal volume of AWRU PO, the system pressure falls to the minimal (in the initial time) value P_{min} . At this point, saturated with ammonia WAS in the A-E starts to boil with heat removal from the outside air flow. Upon cooling of WAS, a thermal flow Q_0 from the environment into the G-A appears due to the temperature difference, that flow is a refrigerating capacity of the AWRU PO. The generated vapor of ammonia is absorbed in the G-A zone with a heat of absorption Q_a transferring to the environment with the corresponding temperature t_w . In this process, there is a monotonic increase of pressure with a corresponding increase of temperature in the A-E zone. The air flow that washes over the outer surface of the A-E is cooled to temperatures below the dew point, and the water condensate devaporates out of it. The cooling process takes place until the establishment of thermal equilibrium in zones G-A and A-E.

For the practical implementation of such a device, it is necessary to estimate its specific cooling capacity q_o when operating under different climatic conditions, with the prospect of maximal utilization in the arid tropical zones of the planet. This refrigerating capacity is determined by the amount of heat, removed from air while it cools below the dew point temperature, relatively to refrigerant's mass. In connection with this, the initial data must include temperature and humidity of atmospheric air and the potential maximum temperature of the heating source t_h .

At the initial stage of the calculation, there was specified an initial equilibrium composition of WAS, denoted as x_{beg} (in the liquid phase) and y_{beg} (vapor phase). When calculating, the volumes of WAS in G-A and A-E zones are assumed equal. Considering equal temperatures of all system elements $t_w^{G-A} = t_w^{A-E}$ before operation, the composition of the phases are defined as:

a) for the liquid phase:

$$x_{G-A}^{beg} = \frac{m_{G-A}^A x^A}{m_{G-A}^A x^A + m_{G-A}^B x^B} = x_{A-E}^{beg} = \frac{m_{A-E}^A x^A}{m_{A-E}^A x^A + m_{A-E}^B x^B} \quad (1)$$

b) for the vapor phase:

$$y_{G-A}^{beg} = \frac{m_{G-A}^A(y)^A}{m_{G-A}^A(y)^A + m_{G-A}^B(y)^B} = y_{A-E}^{beg} = \frac{m_{A-E}^A(y)^A}{m_{A-E}^A(y)^A + m_{A-E}^B(y)^B} \quad (2)$$

where m is the mass of solution components, kg; A — ammonia, B — water.

During the charging period (Figure 1.a), some mass of ammonia vapor and water vapor transfers from the zone G-A to the zone A-E. The maximum possible value of the proportion of ammonia in the liquid phase in the A-E is determined by the following relationship:

$$x_{A-E}^{max} = \frac{m_{A-E(x)}^A + \Delta m_{(x)}^A}{m_{A-E(x)}^A + \Delta m_{(x)}^A + m_{A-E(x)}^B + \Delta m_{(x)}^B} \quad (3)$$

Respectively, the mass in the G-A proceeds to decline:

$$x_{G-A}^{min} = \frac{m_{G-A(x)}^A - \Delta m_{(x)}^A}{m_{G-A(x)}^A - \Delta m_{(x)}^A + m_{G-A(x)}^B - \Delta m_{(x)}^B} \quad (4)$$

where $\Delta m_{(x)}^A$ and $\Delta m_{(x)}^B$ — respectively, the mass of ammonia and water in the liquid phase, transferred from G-A to A-E, kg.

The values of x_{G-A}^{\min} and the values of x_{G-A}^{\max} are linked by their thermodynamic parameters — pressure and temperature.

The aim of the thermodynamic calculation of AWRU PO is to define the operating range with the estimation of specific cooling capacity, which determines the performance of installation for the atmospheric water generation by mechanical dewatering (ensuring the temperature of wall and air contact area is below the dew point).

The calculation was carried out for a range of regime parameters:

- a) the temperature of the heating source (generator wall) $t_h = 65 \dots 95$ °C;
- b) the temperature of the "cold source" (ambient air temperature) $t_w = 25 \dots 45$ °C;

The water-ammonia solution (WAS) is used as the working fluid. The calculations assume the maximum operating temperature in the cooling area to be $t_{ob} = 10$ °C.

CONCLUSIONS

1. By increasing the temperature of heating source, the proportion of ammonia in the G-A zone is reduced, allowing to obtain higher potential capacity of absorption process during the cooling phase, i.e. to increase the specific cooling capacity of AWRU PO and the performance by water extraction from the air. Since the temperature rise of the heating source from 65 °C to 95 °C, minimal temperature in the cooling area decreases from 7 °C to minus 17 °C.

2. When the ambient air temperature increases, the specific cooling capacity of AWRU PO decreases, and this tendency is especially noticeable at higher ammonia fraction in the generation area.

3. The performed estimation of specific cooling capacity of the AWRU PO has shown that it increases along with the temperature of heating source, and at lower ambient air temperatures, this trend is more obvious.

4. At low ambient air temperature, the maximal values of specific cooling capacity of the AWRU PO can be obtained, by increasing the amount of ammonia in the generation area.

- 5.

REFERENCES

1. Alekseyev V.V., Chekarev K.V. 1996. Preparation of fresh water from humid air. *Arid ecosystem (Russia)* 2(2–3): C.111-122.
2. Pearlstein B.H. 2008. *New Energy Systems*. Kazan: Publishing House of Kazan. state. tehn. University Press, 244 p.